

# 第五章 线性系统的频域分析法

第一节 频率特性

第二节 典型环节与开环系统的频率特性

第三节 频率域稳定判据

第四节 稳定裕度

第五节 闭环系统的频域性能指标

第六节 控制系统频域设计

## 5.2 典型环节与开环系统的频率特性

### 6. 二阶振荡环节 $T = \frac{1}{\omega_n}$

$$G(s) = \frac{\omega_n^2}{s^2 + 2\zeta\omega_n s + \omega_n^2} = \frac{\omega_n}{T^2 s^2 + 2\zeta Ts + 1}$$

$$G(j\omega) = \frac{1}{1 - T^2\omega^2 + j2\zeta\omega T}$$

$$A(\omega) = \frac{1}{\sqrt{(1 - \omega^2 T^2)^2 + (2\zeta\omega T)^2}}$$

$$\varphi(\omega) = \begin{cases} -\arctan\left(\frac{2\zeta\omega T}{1 - \omega^2 T^2}\right), & \omega \leq \frac{1}{T} \\ -\left[\pi - \arctan\left(\frac{2\zeta\omega T}{\omega^2 T^2 - 1}\right)\right], & \omega > \frac{1}{T} \end{cases}$$

特殊点

与原点交点

与正实轴交点

$$G(j0) = 1 \angle 0^\circ$$

$$G(j\infty) = 0 \angle -180^\circ$$

$$\begin{aligned} G(j\omega_n) &= G(j\frac{1}{T}) \\ &= \frac{1}{2\zeta} \angle -90^\circ \end{aligned}$$

与虚轴交点

## 5.2 典型环节与开环系统的频率特性

谐振频率和谐振峰值

$$A(\omega) = |G(j\omega)| = \frac{1}{\sqrt{(1 - \frac{\omega^2}{\omega_n^2})^2 + (2\xi \frac{\omega}{\omega_n})^2}}$$

等于零

$$\frac{d}{d\omega} A(\omega) = -\frac{1}{2} \frac{\left[ 2\left(1 - \frac{\omega^2}{\omega_n^2}\right) \times -2\frac{\omega}{\omega_n^2} + 2(2\xi \frac{\omega}{\omega_n}) \times 2\xi \frac{1}{\omega_n} \right]}{\left[ \left(1 - \frac{\omega^2}{\omega_n^2}\right)^2 + (2\xi \frac{\omega}{\omega_n})^2 \right]^{\frac{3}{2}}} = -\frac{\left[ -\frac{2\omega}{\omega_n^2} \left(1 - \frac{\omega^2}{\omega_n^2}\right) + 4\xi^2 \frac{\omega}{\omega_n^2} \right]}{\left[ \left(1 - \frac{\omega^2}{\omega_n^2}\right)^2 + (2\xi \frac{\omega}{\omega_n})^2 \right]^{\frac{3}{2}}} = 0$$

$$\omega_r = \omega_n \sqrt{1 - 2\xi^2}$$

谐振频率

$$M_r = A(\omega_r) = \frac{1}{2\xi \sqrt{1 - \xi^2}}$$

谐振峰值

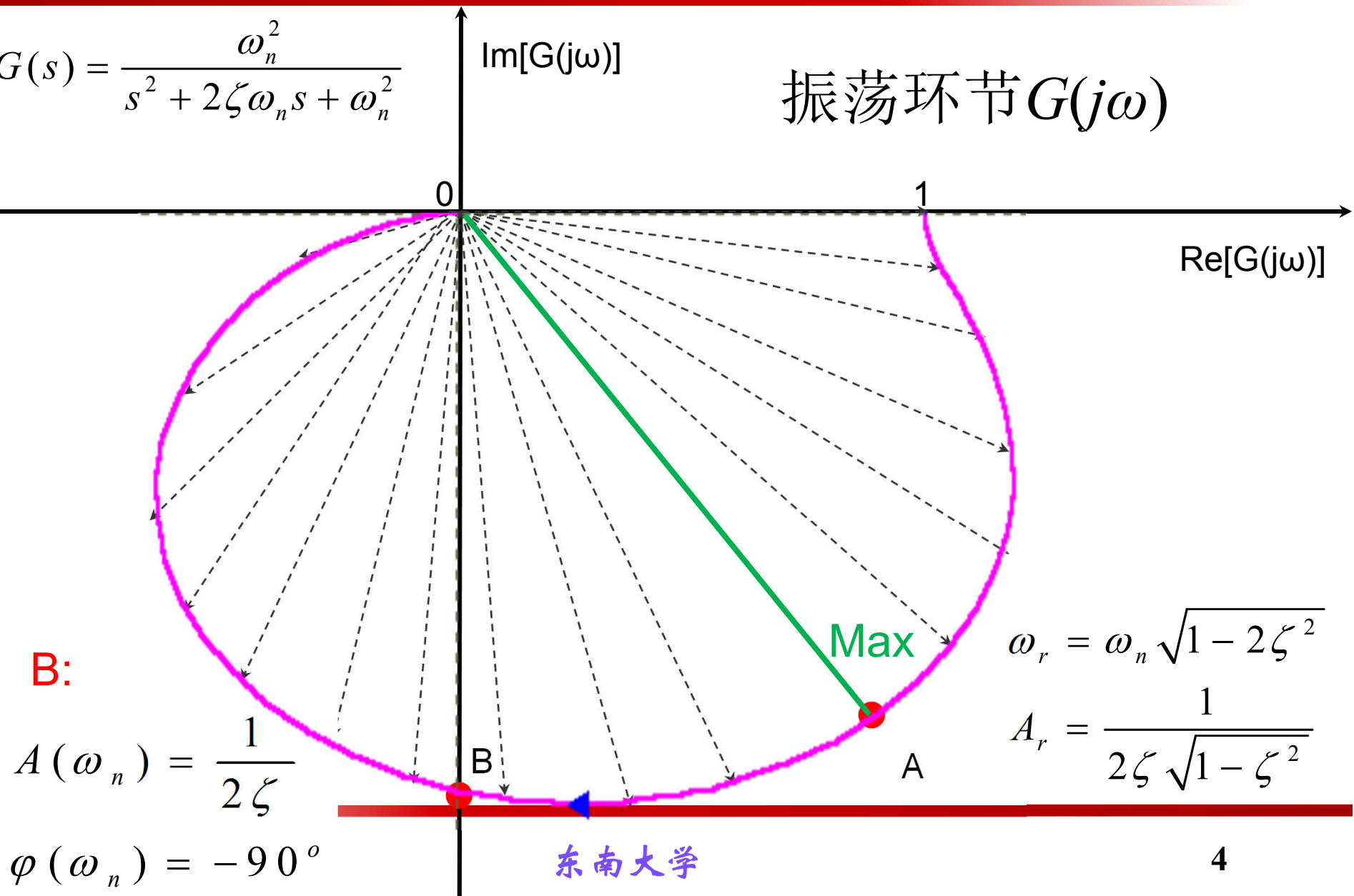
$$0 \leq \xi \leq \frac{\sqrt{2}}{2} \approx 0.707$$

谐振条件

当  $\xi > 0.707$  时，幅值曲线不可能有峰值出现，即不会有谐振。

$$G(s) = \frac{\omega_n^2}{s^2 + 2\zeta\omega_n s + \omega_n^2}$$

振荡环节  $G(j\omega)$



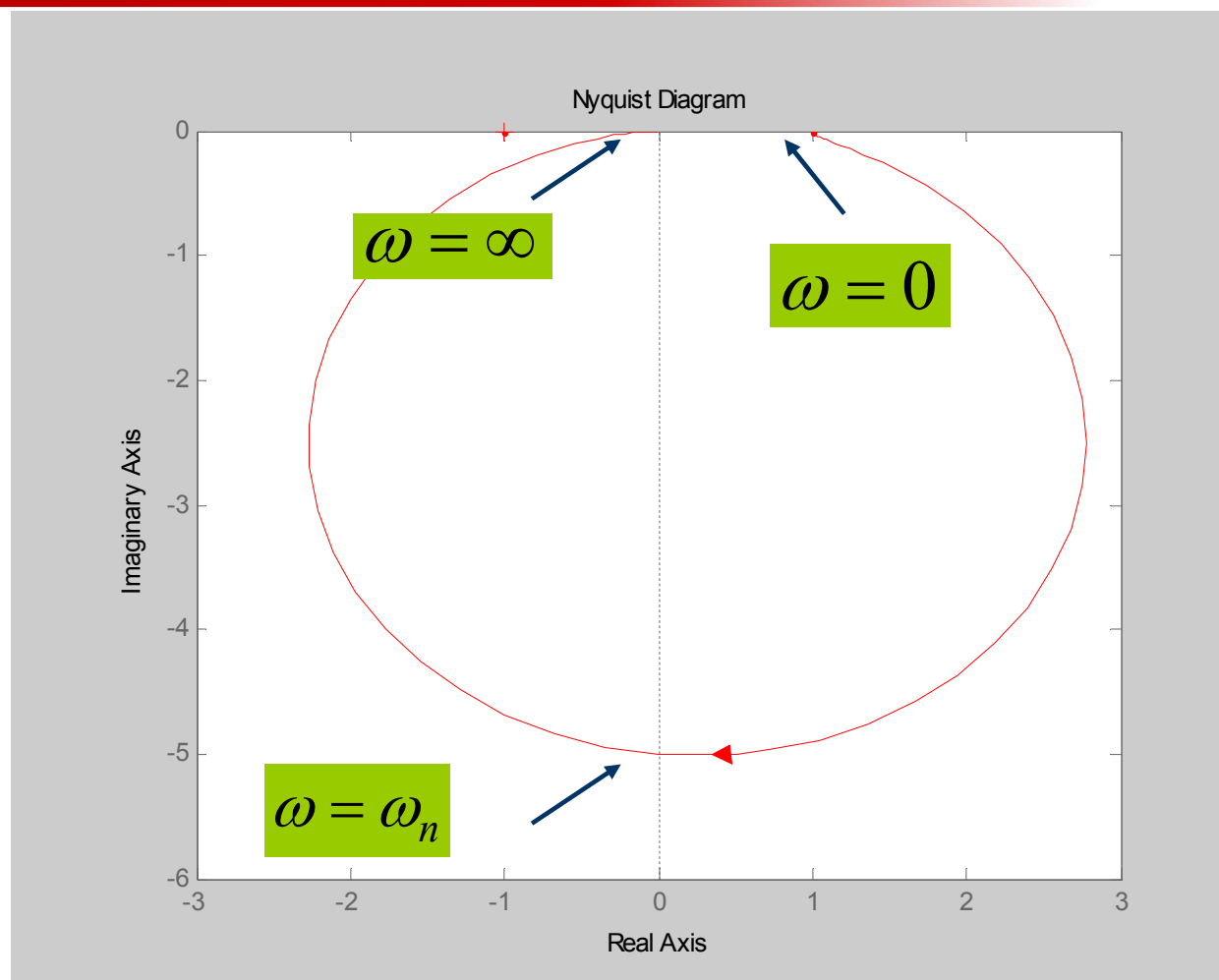
## 5.2 典型环节与开环系统的频率特性

### 欠阻尼

- 当  $\omega = \omega_n$  时

$$G(j\omega_n) = \frac{1}{2\zeta j} \quad \text{相角 } -90^\circ$$

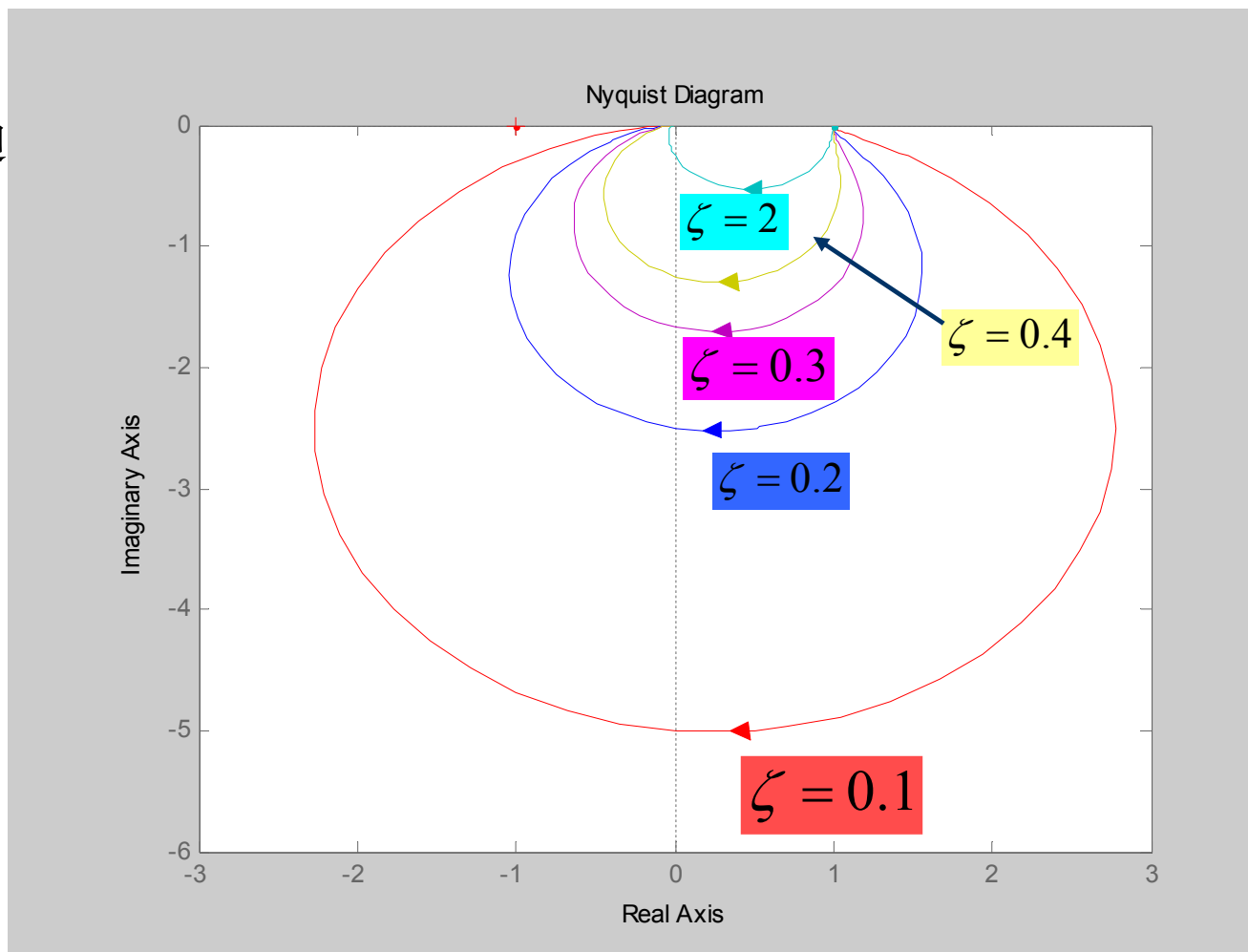
- $G(j\omega)$  的轨迹与虚轴交点处的频率，就是无阻尼自然频率  $\omega_n$
- 极坐标图上距原点最远的频率点，是谐振频率  $\omega_r$ 。
- $G(j\omega)$  的峰值可以用谐振频率  $\omega_r$  处的向量幅值，与  $\omega = 0$  处向量幅值之比来确定。



## 5.2 典型环节与开环系统的频率特性

### 过阻尼

- 当 $\zeta$ 增加到远大于1时,  $G(j\omega)$ 的轨迹趋向于半圆。
- 这是因为对于强阻尼系统, 特征方程的根为实根, 并且其中一个根远小于另一个根。
- 对于足够大的 $\zeta$ 值, 比较大的一个根对系统影响很小, 因此系统的特征与一阶系统相似。



## 5.2 典型环节与开环系统的频率特性

二阶振荡环节的伯德图

$$G(s) = \frac{\omega_n^2}{s^2 + 2\zeta\omega_n s + \omega_n^2} \quad G(j\omega) = \frac{1}{1 + 2\zeta(j\frac{\omega}{\omega_n}) + (j\frac{\omega}{\omega_n})^2}$$

$$L(\omega) = 20\lg \left| \frac{1}{1 + 2\zeta(j\frac{\omega}{\omega_n}) + (j\frac{\omega}{\omega_n})^2} \right| = -20\lg \sqrt{(1 - \frac{\omega^2}{\omega_n^2})^2 + (2\zeta\frac{\omega}{\omega_n})^2}$$

在低频时，即当  $\omega \ll \omega_n$   $-20\lg 1 = 0$  dB

低频渐近线为一条0分贝的水平线

在高频时，即当  $\omega \gg \omega_n$   $-20\lg \frac{\omega^2}{\omega_n^2} = -40\lg \frac{\omega}{\omega_n}$  dB

$$L_a(\omega) = \begin{cases} 0 & \omega < \omega_n \\ -40\lg \frac{\omega}{\omega_n} & \omega > \omega_n \end{cases}$$

高频渐近线为一条斜率为-40分贝/十倍频程的直线

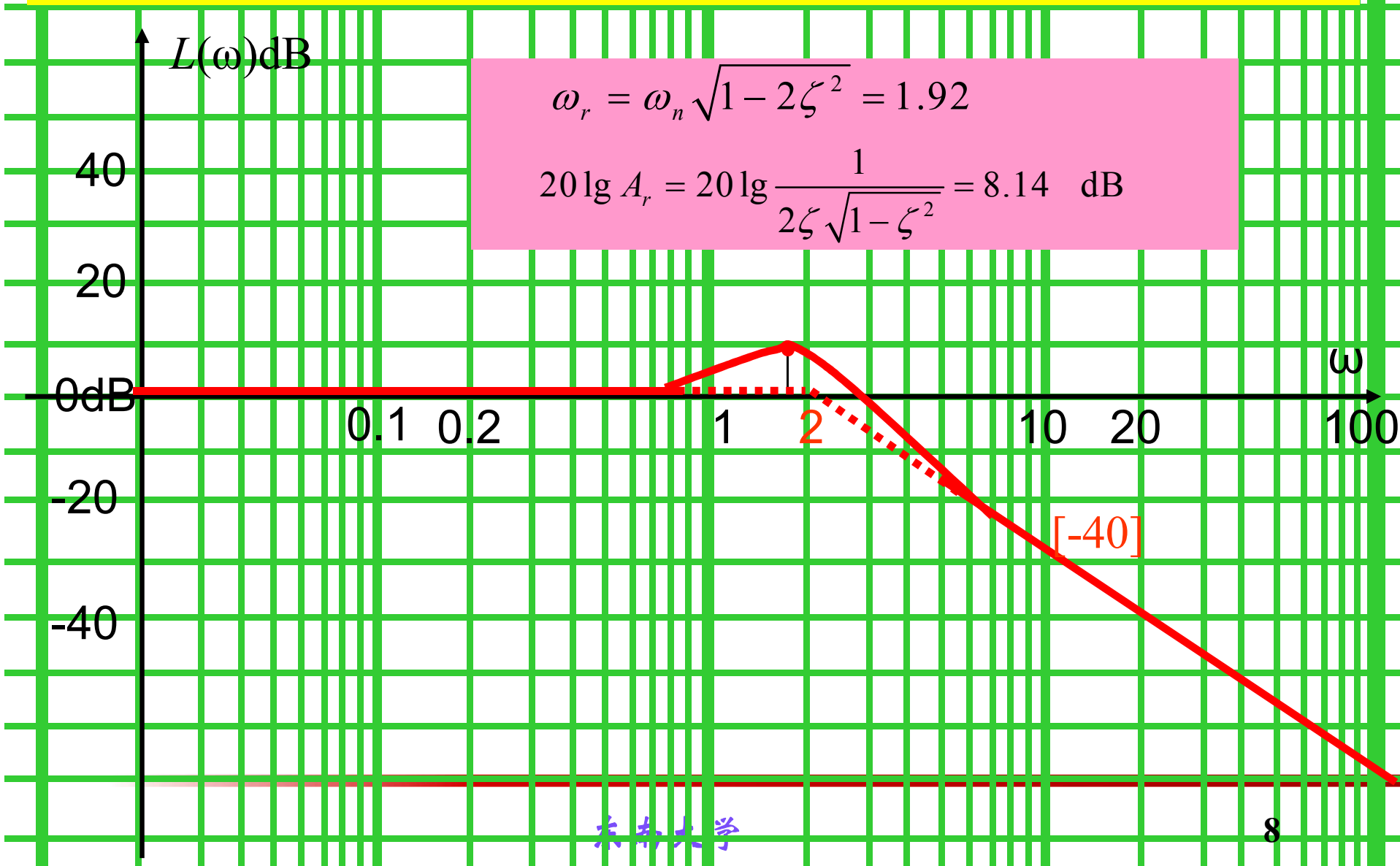
由于在  $\omega = \omega_n$  时  $-40\lg \frac{\omega}{\omega_n} = -40\lg 1 = 0$  dB 所以高频渐近线与低频渐近线在  $\omega = \omega_n$  处相交——交接频率。

## 振荡环节 $L(\omega)$

$$G(s) = \frac{\omega_n^2}{s^2 + 2\zeta\omega_n s + \omega_n^2} = \frac{4}{s^2 + 2 \times 0.2 \times 2s + 4}$$

$$\omega_r = \omega_n \sqrt{1 - 2\zeta^2} = 1.92$$

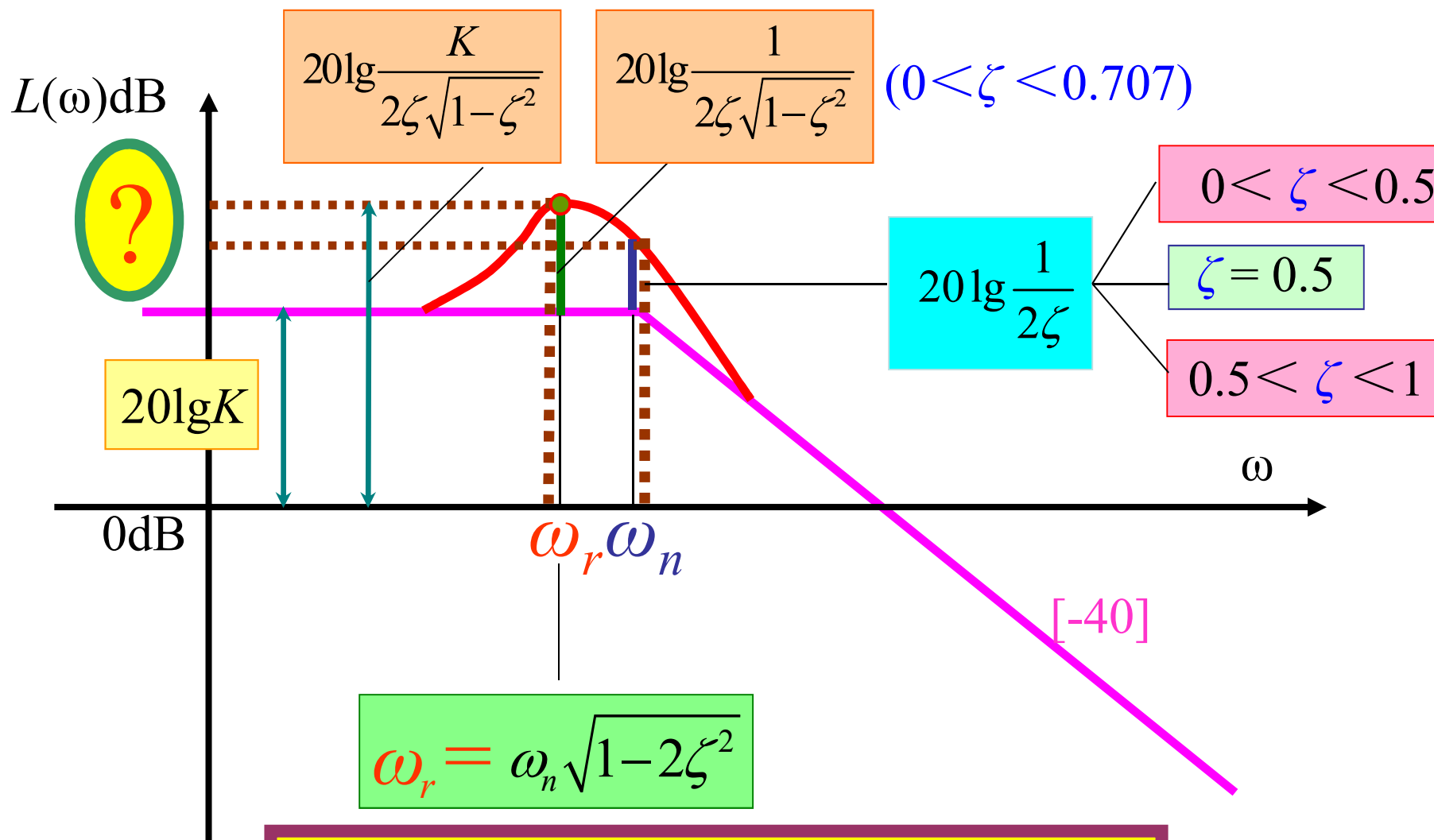
$$20 \lg A_r = 20 \lg \frac{1}{2\zeta \sqrt{1 - \zeta^2}} = 8.14 \text{ dB}$$





## 振荡环节

$$G(s) = \frac{K \omega_n^2}{s^2 + 2\zeta \omega_n s + \omega_n^2}$$



**提醒:**  $\varphi(\omega_n) = -90^\circ$

## 5.2 典型环节与开环系统的频率特性

幅频特性与  $\zeta$  关系

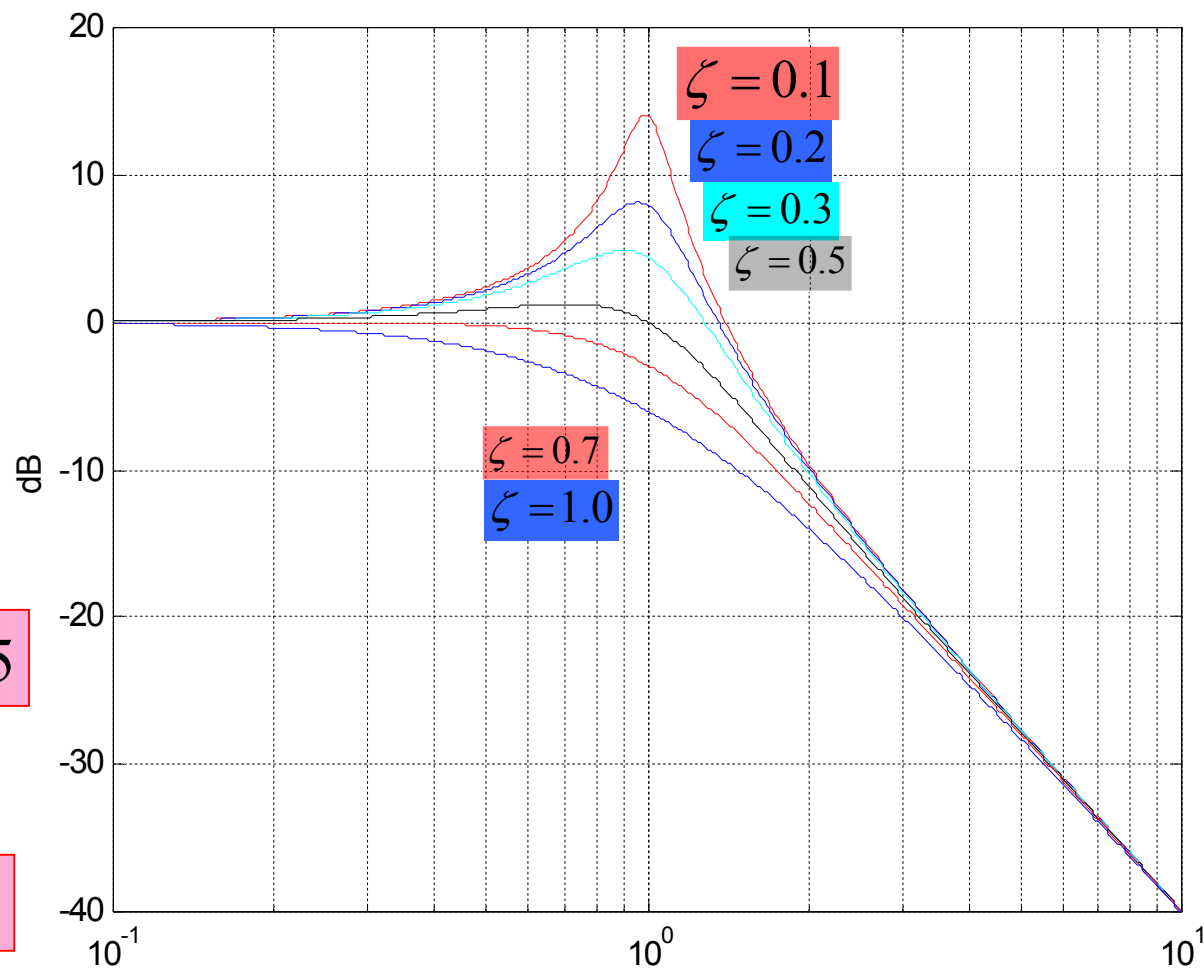
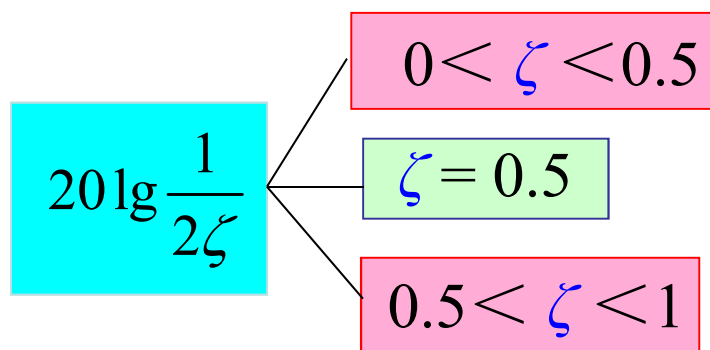


图 二阶振荡环节的对数幅频特性曲线

## 5.2 典型环节与开环系统的频率特性

幅值误差与 $\zeta$  关系

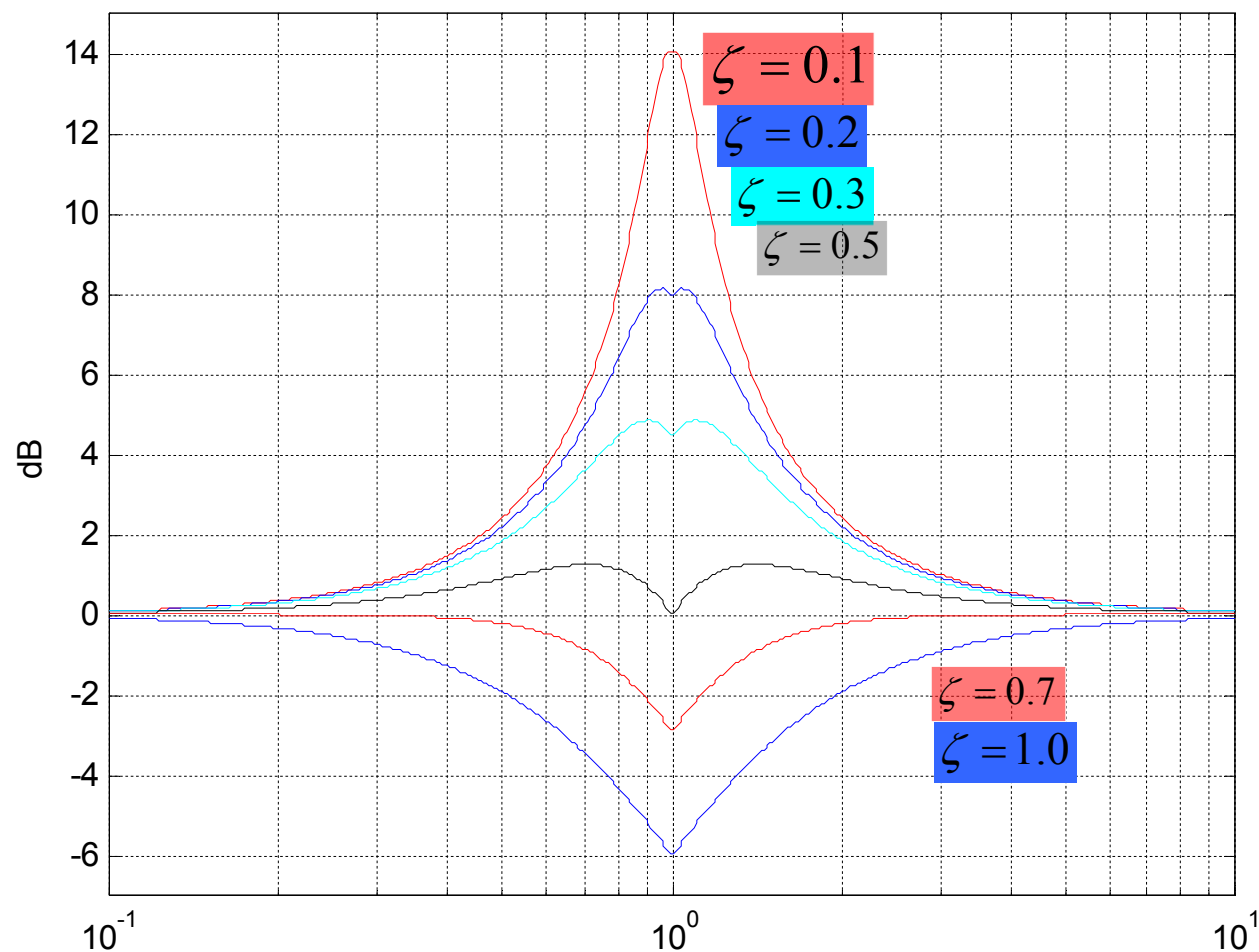


图 二阶振荡环节的频率响应曲线以渐近线表示时引起的对数幅值误差

## 5.2 典型环节与开环系统的频率特性

相频特性与 $\zeta$  关系

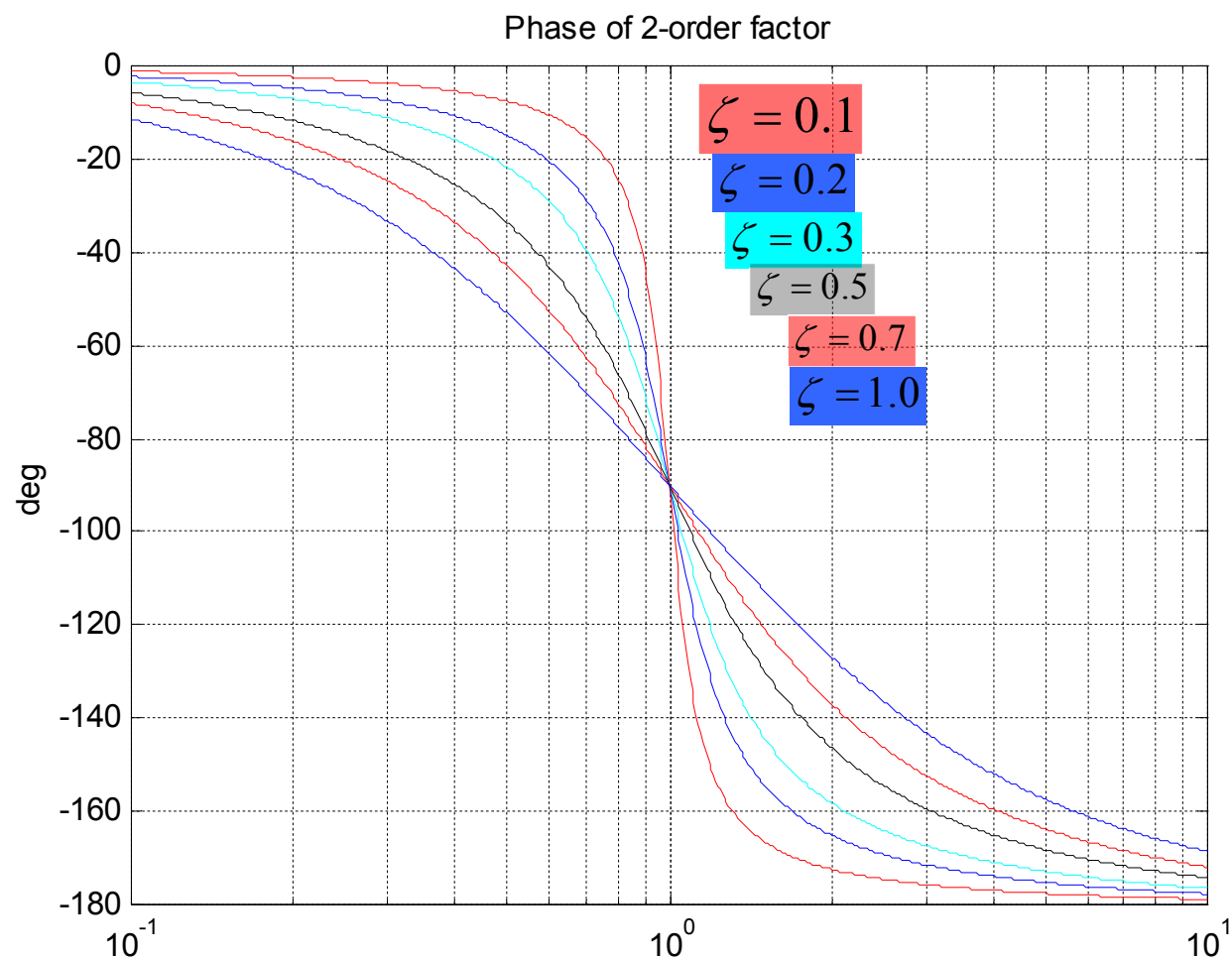


图 二阶振荡环节的对数相频特性曲线

## 5.2 典型环节与开环系统的频率特性

---

### 7. 滞后环节

滞后环节的传递函数： $G(s) = e^{-\tau s}$

式中  $\tau$  —— 滞后时间

频率特性： $G(j\omega) = e^{-j\tau\omega}$

幅频特性： $A(\omega) = 1$

相频特性： $\varphi(\omega) = -\tau\omega$

对数幅频特性： $L(\omega) = 20 \lg A(\omega) = 0\text{dB}$

## 5.2 典型环节与开环系统的频率特性

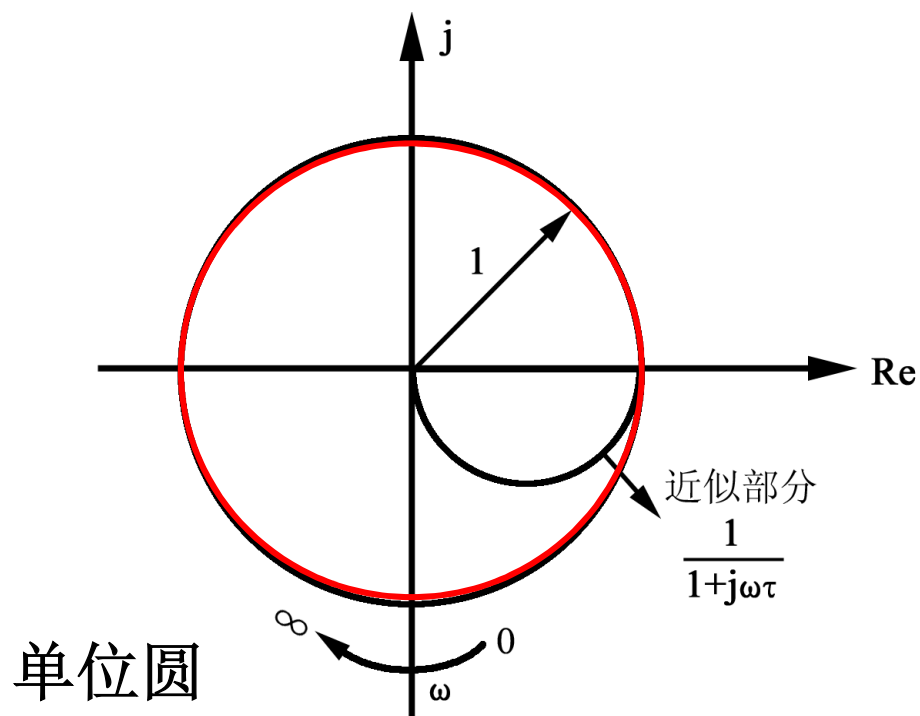


图 极坐标图

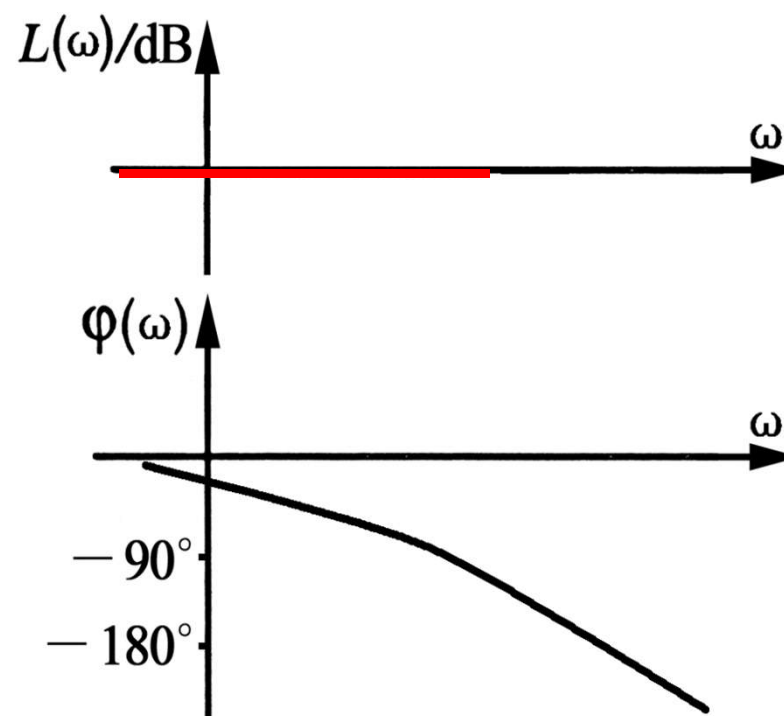
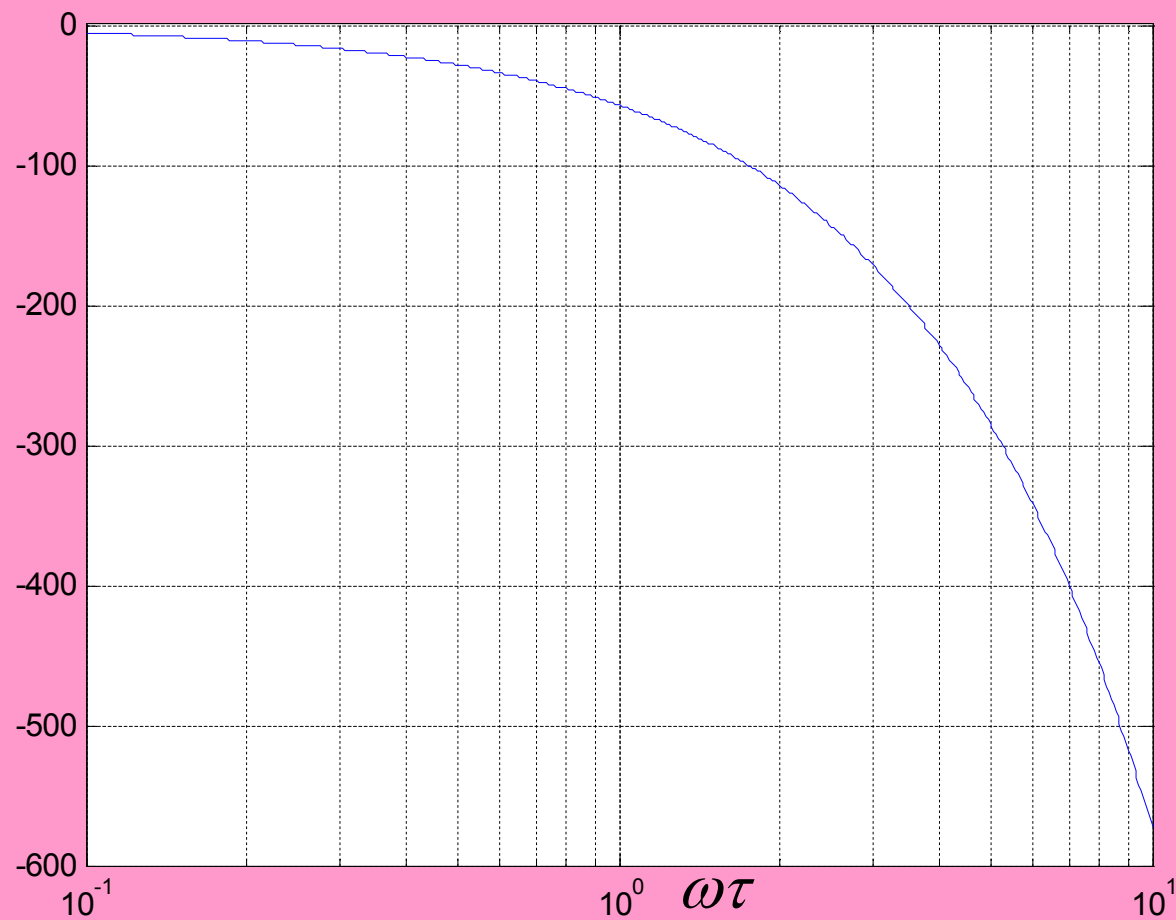


图 滞后环节的Bode图

传递延迟的影响：如果不采取对消措施，**高频时将造成严重的相位滞后**。

## 5.2 典型环节与开环系统的频率特性



传递延迟的相角特性曲线

## 5.2 典型环节与开环系统的频率特性

### 三、开环系统幅相特性曲线

例 设0型系统的开环传递函数为  $G(s) = \frac{K}{(1+T_1s)(1+T_2s)}$

已知：  $K=10$ ，  $T_1=1$ ，  $T_2=5$ ， 概略绘制开环幅相特性曲线。

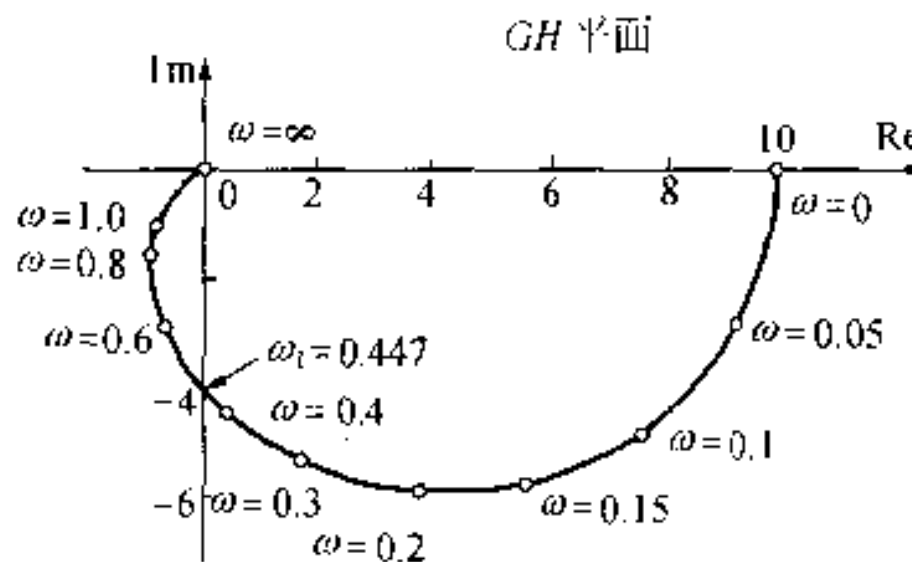
开环系统的幅相特性为：

$$P(\omega) = \frac{K(1-T_1T_2\omega^2)}{(1+T_1^2\omega^2)(1+T_2^2\omega^2)}$$

$$Q(\omega) = -\frac{K(T_1+T_2)\omega}{(1+T_1^2\omega^2)(1+T_2^2\omega^2)}$$

$$A(\omega) = K \frac{1}{\sqrt{1+T_1^2\omega^2}} \cdot \frac{1}{\sqrt{1+T_2^2\omega^2}}$$

$$\varphi(\omega) = -\arctan T_1\omega - \arctan T_2\omega$$





## 5.2 典型环节与开环系统的频率特性

例 设某I型系统的开环传递函数为  $G(s) = \frac{K}{s(1+T_1s)(1+T_2s)}$

概略绘制开环幅相特性曲线。

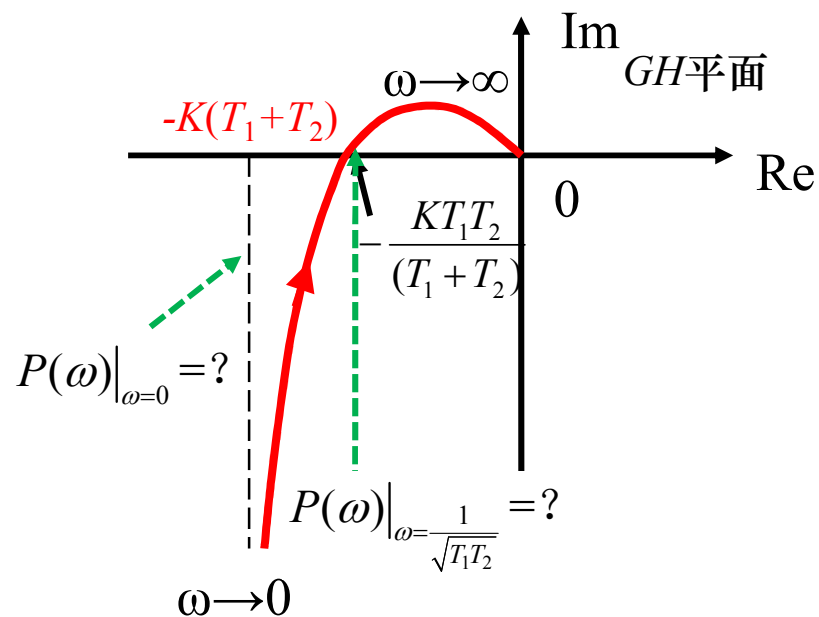
$$P(\omega) = \frac{-K(T_1 + T_2)}{(1 + T_1^2\omega^2)(1 + T_2^2\omega^2)}$$

$$Q(\omega) = \frac{-K(1 - T_1T_2\omega^2)}{\omega(1 + T_1^2\omega^2)(1 + T_2^2\omega^2)}$$

$$A(\omega) = K \frac{1}{\omega \sqrt{1 + T_1^2\omega^2} \sqrt{1 + T_2^2\omega^2}}$$

$$\varphi(\omega) = -90^\circ - \arctan T_1\omega - \arctan T_2\omega$$

$$\omega_x = \frac{1}{\sqrt{T_1T_2}} \text{ 穿越频率}$$



概略绘制时可取渐近线为坐标轴

## 5.2 典型环节与开环系统的频率特性

绘制开环系统幅相特性曲线时应注意的特征

$\omega \rightarrow 0$  时，低频段从何处出发？

$\omega \rightarrow \infty$  时，高频段以何种姿态卷入原点？

曲线在  $\omega$  为何值时穿越实轴和虚轴？穿越的坐标值为多少？

$$G(j\omega) = \frac{K}{(j\omega)^v} \cdot \frac{\prod_{i=1}^{m_1} (j\tau_i\omega + 1) \prod_{k=1}^{m_2} [\tau_k^2(j\omega)^2 + 2\zeta_k\tau_k(j\omega) + 1]}{\prod_{j=1}^{n_1} (jT_j\omega + 1) \prod_{l=1}^{n_2} [T_l^2(j\omega)^2 + 2\zeta_lT_l(j\omega) + 1]}$$

$$m_1 + 2m_2 = m \quad n_1 + 2n_2 + v = n \quad n \geq m$$

## 5.2 典型环节与开环系统的频率特性

$$G(j\omega) = \frac{K}{(j\omega)^v} \cdot \frac{\prod_{i=1}^{m_1} (j\tau_i\omega + 1) \prod_{k=1}^{m_2} [\tau_k^2(j\omega)^2 + 2\zeta_k\tau_k(j\omega) + 1]}{\prod_{j=1}^{n_1} (jT_j\omega + 1) \prod_{l=1}^{n_2} [T_l^2(j\omega)^2 + 2\zeta_lT_l(j\omega) + 1]}$$

1)  $\omega \rightarrow 0$  时, 低频段的表达式为:  $G(j\omega) \approx \frac{K}{(j\omega)^v}$

幅频和相频表达式分别为:  $A(\omega) = \frac{K}{\omega^v}$   $\varphi(\omega) = -v\frac{\pi}{2}$

试分析  $v=0、1、2$  时, 曲线的起始点情况?

2)  $\omega \rightarrow \infty$  时, 高频段的幅频和相频特性为:

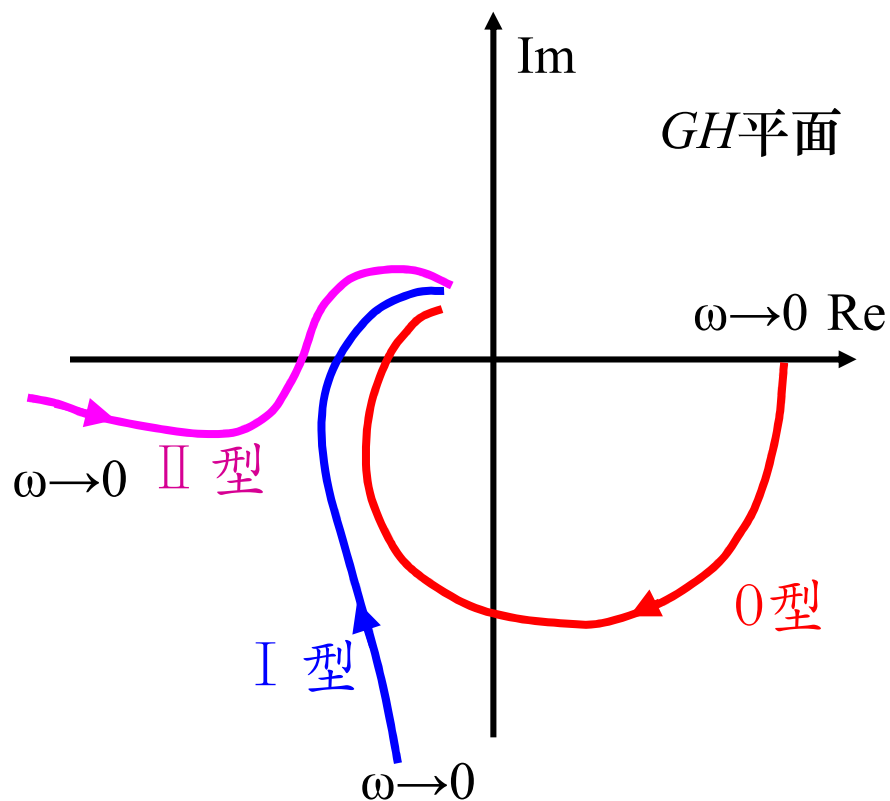
$$\lim_{\omega \rightarrow \infty} |G(j\omega)| = 0 \quad \lim_{\omega \rightarrow \infty} \angle G(j\omega) = -(n-m) \cdot \frac{\pi}{2}$$

$n-m=1$  时, 曲线沿 **负虚** 轴卷向原点;

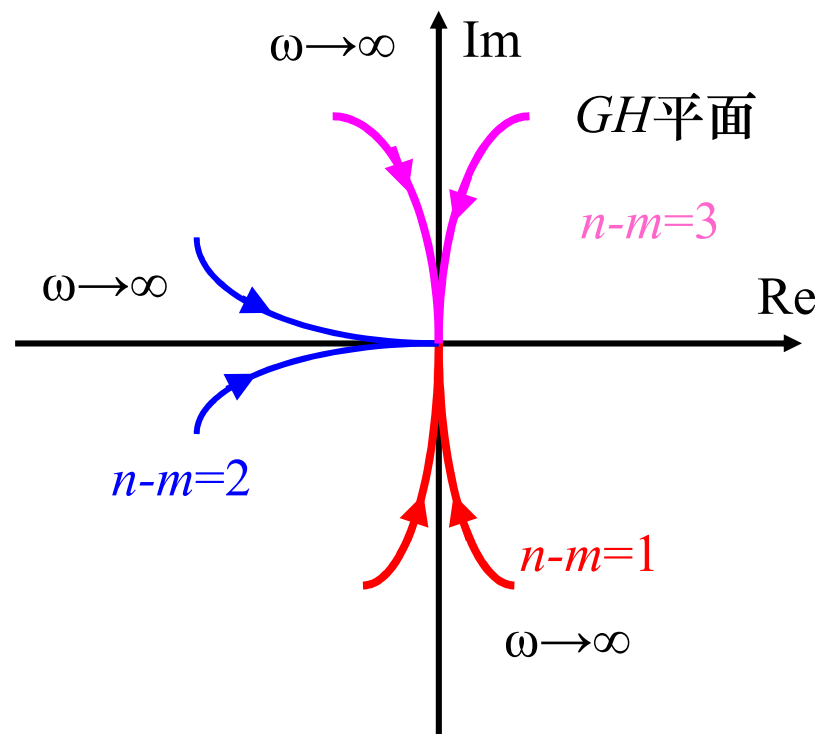
$n-m=2$  时, 曲线沿 **负实** 轴卷向原点;

$n-m=3$  时, 曲线沿 **正虚** 轴卷向原点。

## 5.2 典型环节与开环系统的频率特性



极坐标的低频段



极坐标的高频段

## 5.2 典型环节与开环系统的频率特性

例：概略绘制  $G(s) = \frac{5(s+2)(s+3)}{s^2(s+1)}$  的开环幅相特性曲线。

解：  $G(j0^+) = \infty \angle -180^\circ$      $G(j\infty) = 0 \angle -90^\circ$

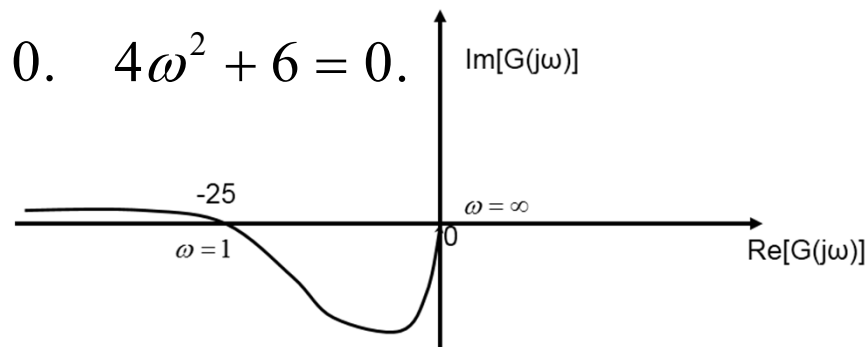
求交点：  $G(j\omega) = \frac{5[(6-\omega^2) + j5\omega]}{-\omega^2(1+j\omega)}$

令  $\text{Im}[G(j\omega)] = 0$      $5\omega - \omega(6-\omega^2) = 0$     即  $\omega^2 = 1, \omega = 1$

$G(j1) = \frac{5(5+j5)}{-(1+j)} = -25$     与负实轴相交于  $-25$  处。

令  $\text{Re}[G(j\omega)] = 0$ .     $6 - \omega^2 + 5\omega^2 = 0$ .     $4\omega^2 + 6 = 0$ .


无实数解，与虚轴无交点。



# 本次课结束

---

## 重要知识点

1. 二阶振荡环节的频率特性 
2. 开环系统的幅相频率特性 